

ML hw3

r07922100 楊力權

1.

柯西不等式 $|\vec{A} \cdot \vec{B}| \leq |\vec{A}| |\vec{B}| \Rightarrow |\vec{A} \cdot \vec{B}|^2 \leq |\vec{A}|^2 |\vec{B}|^2$

設 $\vec{A} = (\mu_1, \mu_2, \dots)$, $\vec{B} = (1, 1, \dots)$ 得 $1^2 = (\sum_{k=1}^K \mu_k)^2 \leq (\sum_{k=1}^K \mu_k^2)(1 + 1 + \dots) = K \sum_{k=1}^K \mu_k^2$

因此 $\sum_{k=1}^K \mu_k^2 \geq \frac{1}{K}$ 且等號成立時 $\frac{\mu_1}{1} = \frac{\mu_2}{1} = \dots = \frac{\mu_K}{1}$

$\max_{\mu} \text{Gini} = 1 - \sum_{k=1}^K \mu_k^2 = \frac{K-1}{K}$ 且 $\mu_1 = \mu_2 = \dots = \mu_K$

2.

square regression error $= \mu_+(1 - (\mu_+ - \mu_-))^2 + \mu_-(-1 - (\mu_+ - \mu_-))^2$
 $= \mu_+(1 - 2(\mu_+ - \mu_-) + (\mu_+ - \mu_-)^2) + \mu_-(1 + 2(\mu_+ - \mu_-) + (\mu_+ - \mu_-)^2)$
 $= (\mu_+ + \mu_-)(1 + (\mu_+ - \mu_-)^2) - 2(\mu_+ - \mu_-)^2 = 1 - (\mu_+ - \mu_-)^2$
 $= 1 - (2\mu_+ - 1)^2 = 4\mu_+ - 4\mu_+^2$

Gini impurity $= 1 - \mu_+^2 - \mu_-^2 = 1 - \mu_+^2 - (1 - \mu_+)^2 = 2\mu_+ - 2\mu_+^2$

給定任一 μ_+, μ_- , square regression error 是 Gini impurity 的兩倍

因此為 Gini impurity 的 scaled version。

3.

N 很大的情況，example 不被抽到的機率 $= (1 - \frac{1}{N})^{pN} = \frac{1}{(\frac{N}{N-1})^{pN}} = \frac{1}{(1 + \frac{1}{N-1})^{Np}} \approx \frac{1}{e^p}$

因此約有 Ne^{-p} 個 example 不會被 sample 到的。

4.

一 sample 出錯，表示至少有過半數 $\frac{K+1}{2}$ 個樹出錯，要求 upper bound 所以假設每個

Error 發生點都是剛好 $\frac{K+1}{2}$ 個樹出錯，又假設總共有 N 個 sample，共有 $\sum_{k=1}^K Ne_k$ 棵樹出

錯，因此 Random Forest 中有 $\frac{\sum_{k=1}^K Ne_k}{\frac{K+1}{2}} = \frac{2N}{K+1} \sum_{k=1}^K e_k$ 個點出錯，則

$$E_{out}(G) = \frac{1}{N} \frac{2N}{K+1} \sum_{k=1}^K e_k = \frac{2}{K+1} \sum_{k=1}^K e_k$$

5.

$$\text{確定 } g_1(x) = 11.26, \alpha_1 = \arg \min_{\eta} \frac{1}{N} \sum_{n=1}^N ((y_n - s_n) - \eta g_1(x))^2 = \arg \min_{\eta} \frac{1}{N} \sum_{n=1}^N (y_n - 11.26\eta)^2$$

$$\frac{\partial}{\partial \eta} \sum_{n=1}^N (y_n - 11.26\eta)^2 = 2N\eta(11.26)^2 - 2(11.26) \sum_{n=1}^N y_n = 0 \Rightarrow \alpha_1 = \frac{1}{11.26N} \sum_{n=1}^N y_n$$

6.

$$\sum_{n=1}^N s_n g_t(x_n) = \sum_{n=1}^N (s_n^{(t-1)} + \alpha_t g_t(x_n)) g_t(x_n) = \sum_{n=1}^N s_n^{(t-1)} g_t(x_n) + \alpha_t g_t^2(x_n)$$

$$\text{而 } \frac{\partial}{\partial \eta} \sum_{n=1}^N ((y_n - s_n^{(t-1)}) - g_t(x_n)\eta)^2 = 2\eta \sum_{n=1}^N g_t^2(x_n) - 2 \sum_{n=1}^N g_t(x_n)(y_n - s_n^{(t-1)}) = 0$$

$$\Rightarrow \alpha_t = \eta = \frac{\sum_{n=1}^N g_t(x_n)(y_n - s_n^{(t-1)})}{\sum_{n=1}^N g_t^2(x_n)} \text{ 帶入上第一式可得 } \sum_{n=1}^N s_n g_t(x_n)$$

$$= \sum_{n=1}^N s_n^{(t-1)} g_t(x_n) + \alpha_t g_t^2(x_n) = \sum_{n=1}^N s_n^{(t-1)} g_t(x_n) + \frac{\sum_{n=1}^N g_t(x_n)(y_n - s_n^{(t-1)})}{\sum_{n=1}^N g_t^2(x_n)} \sum_{n=1}^N g_t^2(x_n) = \sum_{n=1}^N g_t(x_n) y_n$$

7.

$$g_1(x) = w_1 x + w_2 x^2 + \dots + b, \text{ 令 } \sum_{n=1}^N (g_1(x_n) - (y_n - s_n))^2 \text{ 偏微分為零，得optimal解為}$$

$$g_1^*(x) = w_1^* x + w_2^* x^2 + \dots + b^*, \text{ 能使 } \sum_{n=1}^N (g_1^*(x_n) - (y_n - s_n))^2 \text{ 最小。}$$

此時若存在一 $\alpha_1 \neq 1$ 使 $\sum_{n=1}^N (\alpha_1 g_1^*(x_n) - (y_n - s_n))^2$ 更小，表示必定存在一個

$$g_1'(x) = \alpha_1 (w_1^* x + w_2^* x^2 + \dots + b^*) = w_1' x + w_2' x^2 + \dots + b'$$

$$\text{能使 } \sum_{n=1}^N (g_1'(x_n) - (y_n - s_n))^2 < \sum_{n=1}^N (g_1^*(x_n) - (y_n - s_n))^2$$

因此 $g_1^*(x)$ 不是 optimal solution 造成矛盾。因此 optimal $\alpha_1 = 1$ 。

8.

設 $x_0 = 1, w_0 = d - 1, w_i = 1, \text{ for } 1 \leq i \leq d$

當全部 $x_i = -1, g_A(x) = \text{sign}(\sum_{i=0}^d w_i x_i) = \text{sign}((d-1) - d) = -1$ 符合 OR 結果 False。

當其中有一 $x_n = +1, g_A(x) = \text{sign}(\sum_{i=0}^d w_i x_i) = \text{sign}((d-1) - (d-1) + 1) = +1$

符合 OR 結果 True。愈多 $x_i = +1$ 只會讓 $\sum_{i=0}^d w_i x_i$ 愈大符合 OR 結果 True。

9.

由output layer來看(第L-1層->output) , $\frac{\partial e_n}{\partial w_{i1}^{(L)}} = \frac{\partial e_n}{\partial s_1^{(L)}} \frac{\partial s_1^{(L)}}{\partial w_{i1}^{(L)}} = \frac{\partial err(s_1^{(L)}, y_n)}{\partial s_1^{(L)}} (x_i^{(L-1)})$

因為 $w_{i1} = 0$ 所以 $x_i^{(L-1)} = \tanh(s_i^{(L-1)}) = \tanh(\sum_{k=1}^{d^{(L-2)}} w_{ki}^{(L-1)} x_k^{(L-2)}) = \tanh(0) = 0$

由其他layer來看(第 $l-1$ 層->第 l 層) , $\frac{\partial e_n}{\partial w_{ij}^{(l)}} = \frac{\partial e_n}{\partial s_j^{(l)}} \frac{\partial s_j^{(l)}}{\partial w_{ij}^{(l)}} = \delta_j^{(l)} (x_i^{(l-1)})$

因為 $w_{ij} = 0$ 所以 $\delta_j^{(l)} = \frac{\partial e_n}{\partial s_j^{(l)}} = \sum_{k=1}^{d^{(l+1)}} \frac{\partial e_n}{\partial s_k^{(l+1)}} \frac{\partial s_k^{(l+1)}}{\partial x_j^{(l)}} \frac{\partial x_j^{(l)}}{\partial s_j^{(l)}} = \sum_{k=1}^{d^{(l+1)}} \delta_k^{(l+1)} w_{jk}^{(l+1)} \frac{\partial \tanh(s_j^{(l)})}{\partial s_j^{(l)}} = 0$

所有的gradient components皆為0。

10.

$$e = - \sum_{i=1}^K v_i \ln q_i$$

$$\frac{\partial e}{\partial s_k^{(L)}} = \frac{\partial e}{\partial q_k} \frac{\partial q_k}{\partial s_k^{(L)}} = \frac{\partial}{\partial q_k} (-v_k \ln q_k) \frac{\partial q_k}{\partial s_k^{(L)}} + \sum_{i \neq k} \frac{\partial}{\partial q_i} (-v_i \ln q_i) \frac{\partial q_i}{\partial s_k^{(L)}}$$

$$= (-v_k \frac{1}{q_k}) \frac{\partial q_k}{\partial s_k^{(L)}} + \sum_{i \neq k} (-v_i \frac{1}{q_i}) \frac{\partial q_i}{\partial s_k^{(L)}}$$

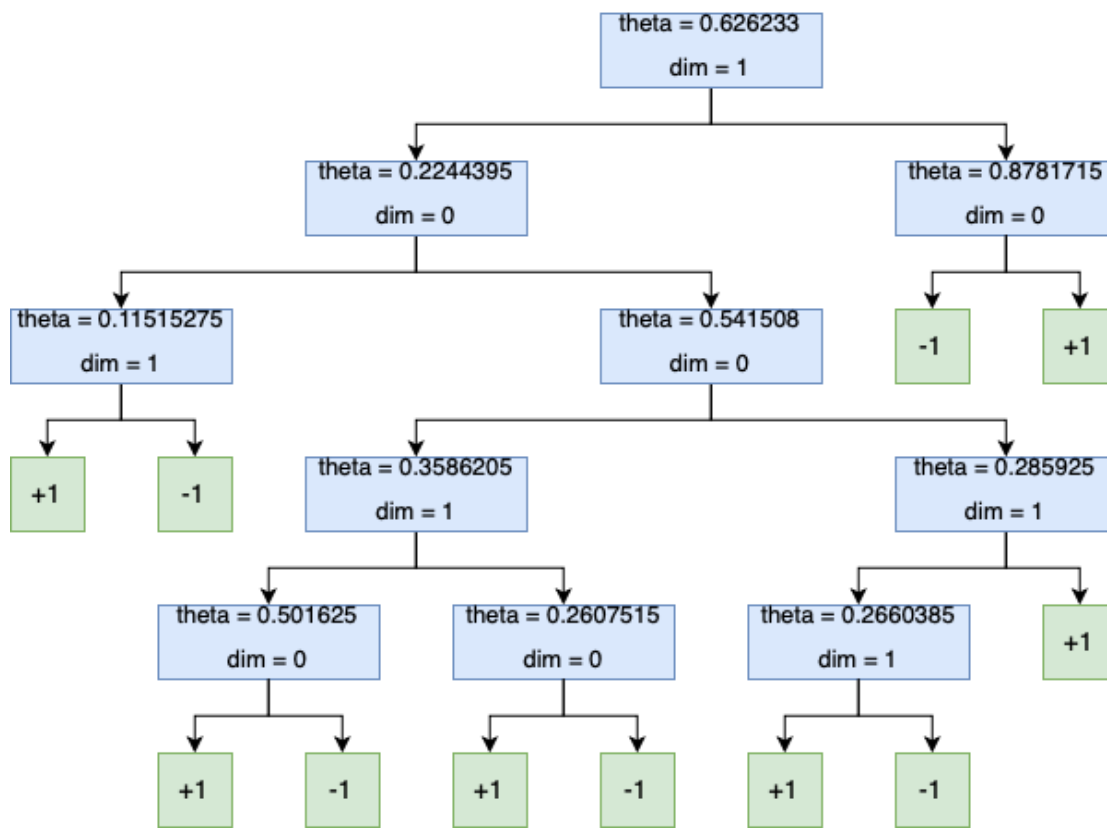
$$= (-v_k \frac{1}{q_k}) \frac{(\sum_{i=1}^K \exp(s_i^{(L)})) \exp(s_k^{(L)}) - \exp(s_k^{(L)})^2}{(\sum_{i=1}^K \exp(s_i^{(L)}))^2} + \sum_{i \neq k} (-v_i \frac{1}{q_i}) \frac{-\exp(s_i^{(L)}) \exp(s_k^{(L)})}{(\sum_{i=1}^K \exp(s_i^{(L)}))^2}$$

$$= (-v_k \frac{1}{q_k}) (q_k - q_k^2) + \sum_{i \neq k} (-v_i \frac{1}{q_i}) (-q_k q_i) = -v_k (1 - q_k) + \sum_{i \neq k} v_i q_k = -v_k + v_k q_k + \sum_{i \neq k} v_i q_k$$

$$= -v_k + q_k \sum_{i=1}^K v_i = q_k - v_k$$

11.

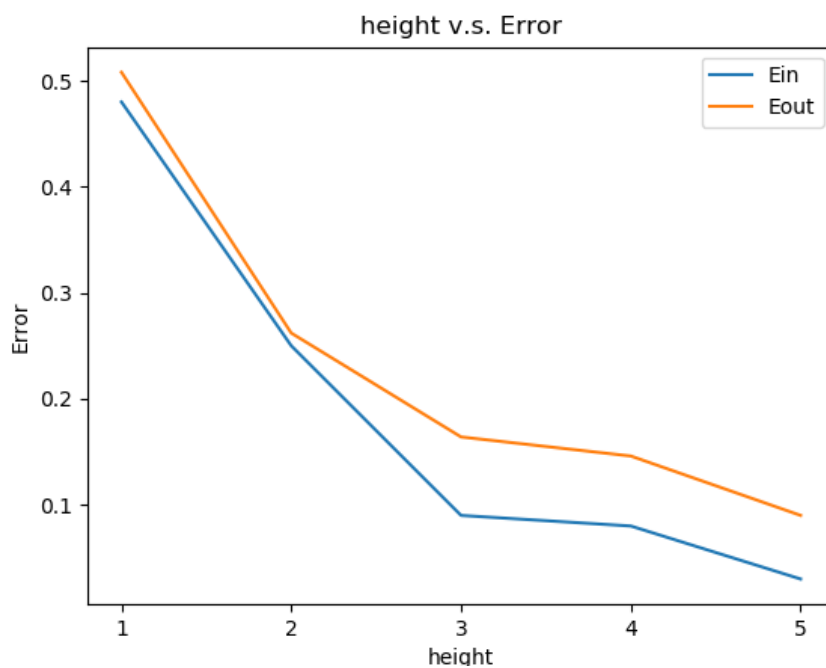
左分支為小於關係，右分支為大於等於關係。



12.

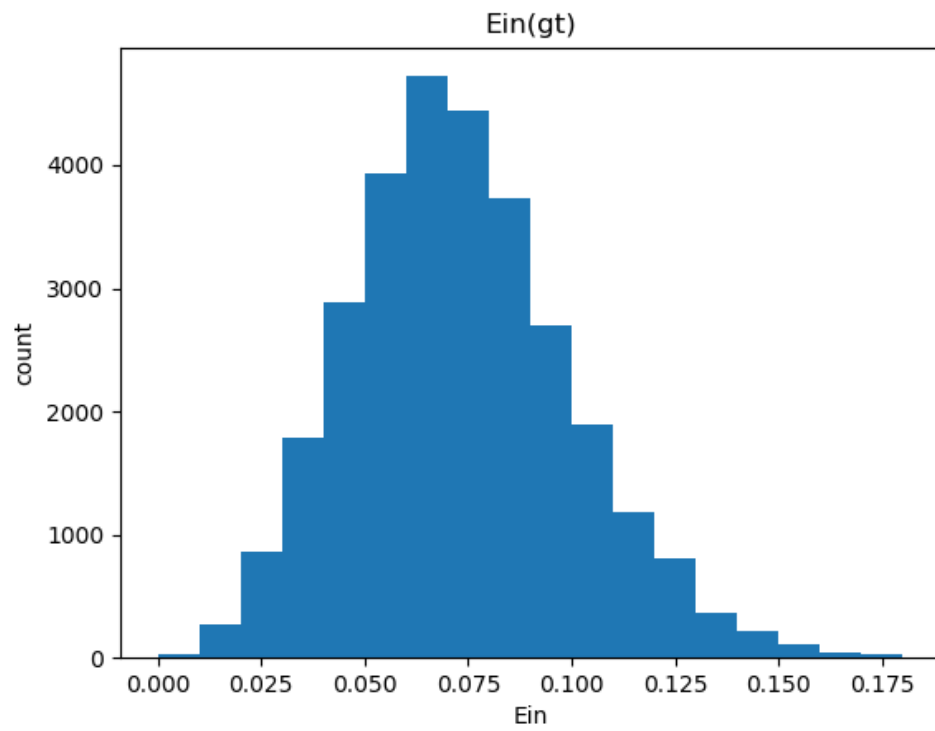
$$E_{in} = 0, E_{out} = 0.126$$

13.

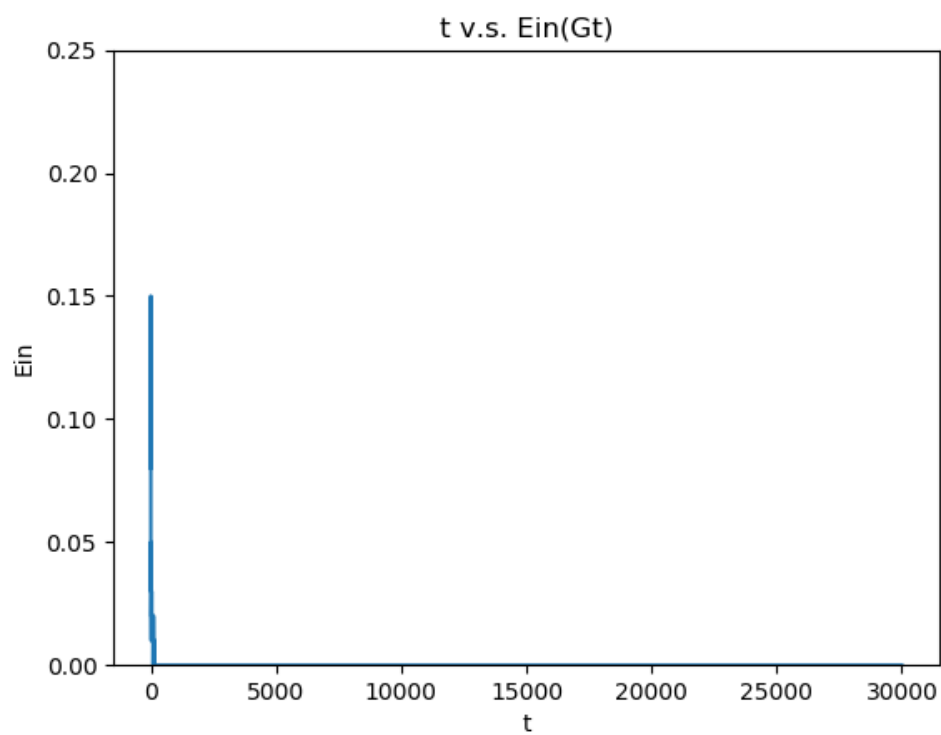


E_{in} 與 E_{out} 同步的下降，沒有明顯overfit的情況。

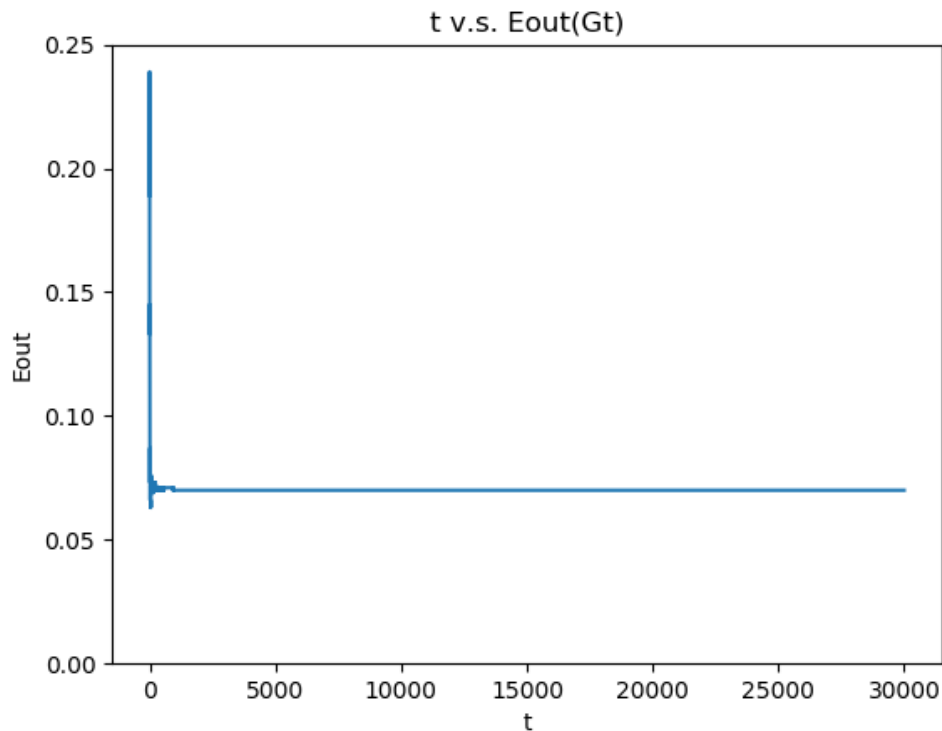
14.



15.



16.



觀察與15.的圖後，發現Random Forest在Ein非常快就能達到0，而Eout的曲線與Ein幾乎是同步下降並趨近一個值，也是非常快便能得到穩定不錯的預測結果。

17.

$XOR(x_1, x_2, \dots, x_d)$ 是x為+1的個數是否為奇數。因此個數直接反映在如下加總上：
 $(-d, -d+2, -d+4, -d+6, \dots, d-2, d)$ 紅字者為True，(d-2與d的True False要視d為奇數或偶數)，因此以這個方式出發，hidden layer每個neuron判斷是否大於間隔中間值。
 透過以下架構結合 $sign(s)$ ，能得到XOR的效果。藍色權重部分全為+1。

